

# تأثیر نسبت ضخامت ورق اتصال تیر به ستون فلزی پرشده با بتن در رفتار لرزه‌بی اتصال

سید حسین حسینی لواسانی \* (استادیار)

سجاد پولکی (کارشناس ارشد)

دانشکده‌ی فنی و هندسی، دانشگاه خوارزمی

رضا خوشنویسان (کارشناس ارشد)

دانشکده‌ی فنی و هندسی، دانشگاه پاوه‌کربلا

مهمنشی عمان شرف، (زمستان ۱۳۹۷)، دوری ۲ - ۳، شماره ۲ / ۳، ص. ۱۳۳-۱۴۰، (پادشاهت فقی)

از مسائل تعیین‌کننده در مورد ستون‌های CFT، اتصال‌های به کار رفته در آن هاست. در پژوهش حاضر، با مدل‌سازی ۱۷۴ نمونه اتصال تیر به ستون لوله‌بی فولادی پرشده با بتن و ۷۴ نمونه اتصال تیر به ستون فولادی در نرم‌افزار آباکوس، به بررسی تأثیر نسبت ضخامت ورق اتصال تیر به ستون فلزی پرشده با بتن پرداخته شده است. نتایج نشان می‌دهد که درصد سختی کشسان و درصد شکل‌پذیری نمونه‌ها به ترتیب نسبت به نمونه‌ی ستون فولادی با ورق میان‌گذر، ۰٪ ۲۴ و ۰٪ ۱۶؛ برای اتصال CFT، ۰٪ ۲۸ و ۰٪ ۱۶؛ اتصال CFT با ورق میان‌گذر، ۰٪ ۸۰ و ۰٪ ۶۰؛ اتصال ستون فولادی با ورق فوقانی و تحتانی، ۰٪ ۹ و ۰٪ ۲؛ اتصال CFT با ورق فوقانی و تحتانی و ورق میان‌گذر، ۰٪ ۶۸ و ۰٪ ۳؛ و اتصال با ستون فولادی با ورق تحتانی و فوقانی و ورق میان‌گذر، ۰٪ ۳ و ۰٪ ۱۷؛ افزایش داشته است.

lavasani@khu.ac.ir  
sajad.poulaki@gmail.com  
khoshnevisanreza87@gmail.com

واژگان کلیدی: ستون‌های فولادی پرشده با بتن (CFT)، جدار فولادی،  
شکل‌پذیری، محصورشدن.

## ۱. مقدمه

برخی دیگر از پژوهشگران [۷]، [۸] نیز نشان دادند که تیر - ستون‌ها با نسبت‌های  $D/t$  کمتر (۲۴ و ۳۳) می‌توانند لنگر بیشینه‌یی را بعد از کماش وضعی تحمل کنند. همچنین در پژوهشی در سال ۱۹۹۱ [۸]، نشان داده شد که برای نمونه‌های با  $D/t$  کمتر از ۵۳، لنگر خمی بعد از کماش وضعی بدون کاهش مقاومت افزایش می‌یابد.

در مطالعه‌ی در سال ۲۰۰۶، نیز به بررسی رفتار ستون‌های فولادی پرشده با بتن یکی به روش معمولی و دیگری با سلول اضافی پرداخته شد و نتایج آن نشان داد که عملکرد لرزه‌بی ستون با سلول اضافی در مقایسه با روش معمولی بهبود یافته و شکل‌پذیری نیز افزایش یافته است. [۹] در بررسی رفتار ستون مربعی CFT تحت بارگذاری ترکیبی بار محوری ثابت و خمش دو محوری (۱۹۶۴)، [۱۰] پارامترهای نسبت مقاومت فشاری بتن، نسبت لاغری و زاویه‌ی بار بررسی شد و نتایج نشان داد که انعطاف‌پذیری و انزی تلف شده با افزایش نسبت بار محوری، کاهش می‌یابد. همچنین در سال ۲۰۱۳ [۱۱] به بررسی ۴ نوع اتصال با ورق: اتصال انتهایی دایره‌بی، اتصال انتهایی مستطیلی، اتصال با جوش کارگاهی و اتصال با تیر عبوری به منظور اتصال تیر فولادی به ستون CFT تحت بارگذاری چرخه‌بی با مقیاس ۰٪ ۵ پرداخته شد و نتایج نشان داد که اتصال با تیر عبوری، بهترین عملکرد را و اتصال با ورق انتهایی دایره‌بی و مستطیلی، عملکرد تقریباً یکسانی داشته‌اند. در مطالعه‌ی ۱۲ نوع اتصال مستشکل از یک طول ثابت فولادی در ستون‌های CFT [۱۲]،

ستون‌های مرکب در ساختمان‌ها و دیگر سازه‌ها به صورت گسترده‌بی استفاده می‌شوند. در سال ۱۹۷۵، اولین مطالعات بر روی موضوع ذکر شده صورت گرفت. [۱۳] و آزمایش‌هایی بر روی مقاطع تو خالی و پرشده با بتن انجام و سپس، روابطی برای طراحی ستون‌های فولادی پرشده با بتن (CFT) [۱۴] ارائه شد. همچنین در سال ۱۹۶۴، رفتار ستون‌های پرشده با ملات بررسی و مقایسه‌یی بین نتایج آزمایش و تئوری به دست آمده از فرمول مدول مماسی انجام شد. [۱۵] همچنین آزمایش‌های انجام شده در سال ۱۹۷۶ نشان داد که هسته‌ی بتن فقط حدود ۷٪ / ۵٪ ظرفیت خمی عضو را در خمش خالص تأمین می‌کند. [۱۶] برخی پژوهشگران نیز در سال ۱۹۸۷ گزارش کردند که پرکردن مقطع با بتن، مقاومت خمی و شکل‌پذیری مقطع را به طور قابل توجهی افزایش می‌دهد. [۱۷] در سال ۱۹۹۰، [۱۸] نیز آزمایش‌هایی بر روی تیر - ستون‌های مستطیلی CFT برای تعیین مقاومت نهایی عضو انجام شد.

همچنین در سال ۲۰۰۱ [۱۹] آزمایش‌هایی روی نمونه‌های تحت بار محوری در سه حالت: فقط بر روی هسته‌ی بتن، فقط بر روی هسته‌ی فولادی و بر روی کل مقطع انجام شد (شکل ۱). در حالتی که بار محوری فقط بر روی جدار فولادی وارد شده است، مقاومت ستون کمتر از دو حالت دیگر بوده است.

\* نویسنده مسئول  
تاریخ: دریافت ۲۰ اکتبر ۱۳۹۵، اصلاحیه ۱۱، پذیرش ۲۳ اکتبر ۱۳۹۶.

توسط برخی پژوهشگران برای روابط تنش - کرنش و یا برای تعیین مقاومت و شکل پذیری بتن محدود شده توسط جدار فولادی ارائه شده است.

#### ۱.۱.۲. روابط مندر<sup>[۱۸]</sup>

مندر (۱۹۸۸)، رابطه‌ی ۱ را برای منحنی تنش - کرنش برای مقطع مدور ارائه کرد و است:

$$f'_c = f'_{cc} * \frac{xr}{r - 1 + x^r} \quad (1)$$

که در آن،  $x$  و  $r$  از روابط ۲ و ۳ به دست می‌آیند:

$$x = \frac{\varepsilon_c}{\varepsilon_{cc}} \quad (2)$$

$$r = \frac{E_c}{E_c - \frac{f'_{cc}}{\varepsilon_{cc}}} \quad (3)$$

$r$  ضریب رادیان است که به مدول تازه‌نمای اولیه  $E_c$  و مدول سکانت (رابطه‌ی ۴) بستگی دارد:

$$E_{sec} = \frac{f'_{cc}}{\varepsilon_{cc}} \quad (4)$$

که در آن،  $f'_{cc}$  بیشینه‌ی مقاومت هسته‌ی بتنی است که از رابطه‌ی ۵ به دست می‌آید:

$$f'_{cc} = f'_c \left[ -1,254 + 2,254 \sqrt{1 + \frac{7,94 f'_L}{f'_c}} - \frac{2 f'_L}{f'_c} \right] \quad (5)$$

که در آن،  $f'_L$  فشار جانبی وارده از جدار فولادی به هسته‌ی بتنی است و از رابطه‌ی ۶ به دست می‌آید:

$$f'_L = 2 \sigma_{st} \frac{t}{d} \quad (6)$$

که در آن،  $\sigma_{st}$  تنش محیطی در جدار فولادی است. کرنش طولی بیشینه نیز از رابطه‌ی ۷ به دست می‌آید:

$$\varepsilon_{cc} = \varepsilon_c \left[ 1 + 5 \left( \frac{f'_{cc}}{f'_c} - 1 \right) \right] \quad (7)$$

#### ۲.۱.۱. روابط اصلاحی مندر<sup>[۱۸]</sup>

روابط اصلاحی مندر براساس روابط الی ۸، ارائه شده‌اند:

$$f'_{cc} = f'_c \left[ -1,228 + 2,172 \sqrt{1 + \frac{7,46 P}{f'_c}} - \frac{2 P}{f'_c} \right] \quad (8)$$

$$f'_c = 50 MPa \quad (9)$$

$$\frac{f'_{cc}}{f'_c} = \left( \frac{P}{f_t} + 1 \right) k \quad (10)$$

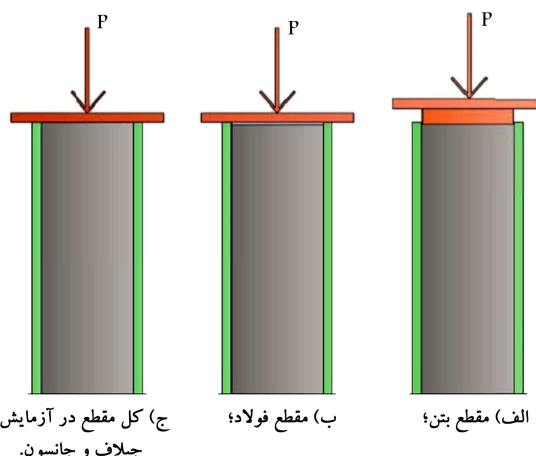
$$f'_c = 80 - 100 MPa \quad (11)$$

$$k = \left[ 1,251 + 0,062 \frac{P}{f'_c} (f'_c)^{-0,71} \right] \quad (12)$$

$$f_t = 0,558 \sqrt{f'_c} \quad (13)$$

$$\varepsilon_{cc} = \varepsilon_c \left[ 1 + 5 \left( \frac{f'_{cc}}{f'_c} - 1 \right) \right] \quad (14)$$

که در آن‌ها،  $P$  فشار جانبی بر بتن،  $\sigma_{st}$  تنش محیطی در جداره‌ی فولادی و  $\varepsilon_{cc}$  کرنش طولی بیشینه است.



شکل ۱. سه نوع بارگذاری (۱۲۰۰-۲۰۰۰).<sup>[۶]</sup>

اتصال ورق وصله به انتهای ستون با جزئیات مختلف بررسی شد و نتایج نشان داد که تغییر جزئیات مذکور آثار زیادی در ظرفیت، حالت شکست، شکل پذیری و توزیع تنش داشته است.

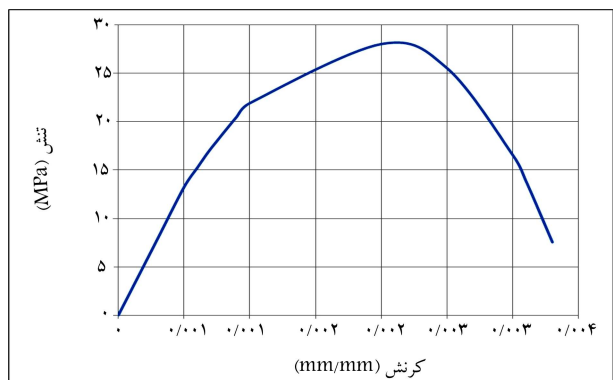
در بررسی رفتار چرخه‌ی دیافراگم داخلی اتصال ستون‌های CFT با استفاده از ورق نازک در سال ۲۰۱۴<sup>[۱۲]</sup> نتایج نشان داد که اتصال مذکور می‌تواند شکل پذیری و اتلاف انرژی مناسبی را در قاب‌های خشکی متوسط داشته باشد. همچنین در پژوهش دیگری در همان سال<sup>[۱۳]</sup> به توضیح روش گسترش یافته‌ی مقاومت مستقیم برای ستون‌های CFT با مقطع دایره‌ی پرداخته شده است. در مطالعه‌ی دیگری در سال ۲۰۱۵<sup>[۱۴]</sup> نیز به بررسی تغییرشکل خارج از صفحه در بال ستون و همچنین الگوی انتقال نیرو، برش و لنگر به اتصال ستون CFT پرداخته شد و نتایج نشان داد که اثر پواسون و انعطاف‌پذیری اتصال ستون می‌تواند نحوه توزیع بار در اتصال تیر به ستون و لنگر منتقل شده به تیر را تغییر دهد.

برخی پژوهشگران<sup>[۱۵]</sup> (۲۰۱۵) هم مدل ظرفیت برشی دو بعدی برای مفاصل بین ستون CFT و نیز مدل سه بعدی را برای درنظر گرفتن مفاصل در دو صفحه و در مقایسه با ظرفیت برشی مدل‌های دو بعدی بررسی کردند و نتایج آن‌ها نشان داد که رابطه‌ی تغییرشکل برشی و ظرفیت برشی نهایی پیش‌بینی شده برای مفاصل سه بعدی به خوبی با نتایج آزمایشگاهی مطابقت دارد. همچنین در سال ۲۰۱۶<sup>[۱۶]</sup> فرمولی براساس کماش موضعی کشسان صفحات فولادی در ستون‌های CFT با مقطع مستطیلی تحت بار فشاری خارج از مرکز ارائه شد. لذا، هدف از انجام پژوهش حاضر، بررسی روش‌های اتصال ستون فولادی پرشده با بتن به تیر فولادی با تغییر در ضخامت و ارتفاع است. بدین منظور در پژوهش حاضر، با مدل‌سازی ۱۷۴ نمونه شامل ۱۰۰ نمونه اتصال تیر به ستون لوله‌ی فولادی پرشده با بتن و ۷۴ نمونه اتصال تیر به ستون فولادی در نرم‌افزار تحلیل اجزاء محدود آباکوس<sup>۲</sup>، به بررسی تأثیر نسبت ضخامت ورق اتصال تیر به ستون فلزی پرشده با بتن در رفتار لرزه‌ی اتصال پرداخته شده است.

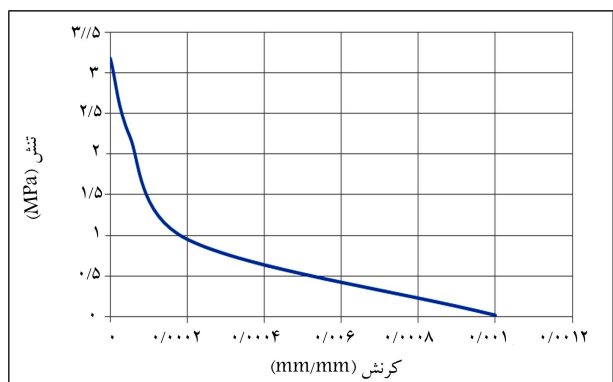
## ۲. روش پژوهش (مبانی تئوری)

### ۲.۱. رفتار تنش - کرنش در ستون‌های CFT

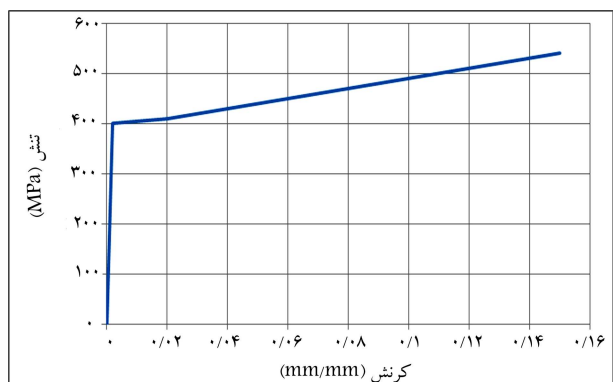
در ستون‌های CFT، محدود یا محبوب کردن بتن، علاوه بر اینکه مقاومت فشاری را افزایش می‌دهد، باعث افزایش شکل پذیری می‌شود. روابط و مدل‌های مختلفی



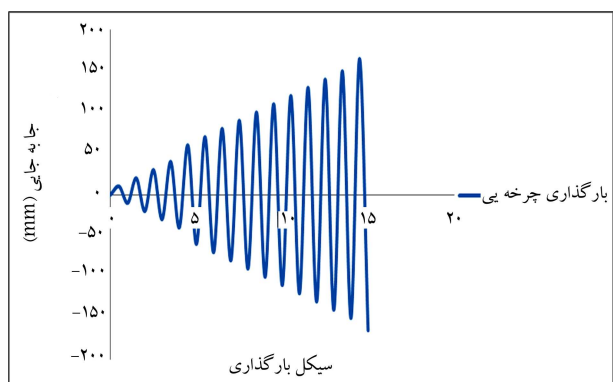
شکل ۲. نمودار رفتار فشاری تنش - کرنش بتن استفاده شده در مدل سازی.



شکل ۳. نمودار رفتار کششی تنش - کرنش بتن استفاده شده در مدل سازی.



شکل ۴. نمودار رفتار تنش - کرنش فولاد استفاده شده در مدل سازی.



شکل ۵. نمودار بارگذاری چرخه بی مورداستفاده برای مدل سازی عددی در پژوهش حاضر.

### ۳. نحوه مدل‌سازی نمونه‌های عددی در نرم‌افزار آباکوس

#### ۱.۳. جزئیات مدل‌سازی

با استفاده از مازول Interaction، نوع سطح تماس بین اجزاء مختلف یک نمونه مانند سطح تماس بین بتن و فولاد و همچنین بین سطوح فولادی تعریف می‌شود. اثر چسبندگی بین جداره فولادی و هسته بتنی در عملکرد سازه‌ی بسیار محسوس نیست و مقدار ضریب پیشنهادی عددی بزرگ‌تر از  $2/0^{\circ}$  بوده است. در پژوهش حاضر، نیز چسبندگی جداره و هسته بتنی  $4/0^{\circ}$  در نظر گرفته شده است. همچنین برای تعریف سطح تماس بین بخش بتنی یا فولادی با صفحات صلب تکیه‌گاه از گزینه Tie استفاده شده است که جایه‌جایی نقاط واقع در دو سطح مختلف را در محل تماس دو سطح به یکدیگر وابسته می‌کند. برای استفاده از مازول Load، نیز شرایط تکیه‌گاهی تعیین شده است. تکیه‌گاه پایینی ستون، مفصلی و تکیه‌گاه بالای ستون غلتبکی بوده است.

#### ۲.۳. مدل‌سازی بتن

شکل‌های ۲ و ۳، به ترتیب رفتار فشاری تنش - کرنش بتن و رفتار کششی تنش - کرنش بتن استفاده شده در نمونه‌های پژوهش حاضر را نشان می‌دهد. برای مدل‌سازی رفتار بتن از روش حالت خمیری آسیب استفاده و پارامترهای موردنیاز آن در جدول ۱ ارائه شده است.

#### ۳.۳. مدل‌سازی فولاد

برای مدل‌سازی فولاد و میلگردانهای فولادی از نمودار تنش - کرنش فولاد استفاده شده است (شکل ۴).

#### ۴.۳. الگوی بارگذاری

بارگذاری رفت و برگشتی پیشنهادی برای اتصال خشکی تیر به ستون از آین نامه‌ی ATC ۴۰، A<sup>۱۹</sup> اقتباس شده است. بارگذاری چرخه‌یی مذکور براساس تحلیل غیرخطی و تاریخچه‌ی زمانی سازه‌هایی با قاب خمی تخت طیفی از داده‌های لرزه‌یی به دست آمده است. در شکل ۵، نمونه‌ی بارگذاری در نمونه‌های استفاده شده در پژوهش حاضر مشاهده می‌شود. در تحلیل‌های مذکور، بیشینه‌ی تغییرشکل و انرژی مستهلك شده در اتصال‌های تیر به ستون، مبنای تدوین الگوی بارگذاری پیشنهادی و معیار پذیرش اتصال‌ها قرار گرفته است. همچنین در جدول ۲، الگوی بارگذاری چرخه‌یی کنترل‌کننده‌ی زاویه‌ی دریافت برای مراحل مختلف بارگذاری ارائه شده است.

### ۴. معرفی نمونه‌های عددی

نمونه‌ها شامل ۱۷۴ عدد اتصال تیر به ستون لوله‌یی، شامل ۱۰۰ نمونه اتصال تیر به ستون فولادی پرشده با بتن و ۷۴ نمونه اتصال تیر به ستون توخالی هستند که شامل این موارد هستند:

۱. اتصال تیر به ستون فولادی پرشده با بتن؛
۲. اتصال تیر به ستون فولادی پرشده با بتن با ورق میان‌گذر؛
۳. اتصال تیر به ستون فولادی خالی به همراه ورق میان‌گذر؛

جدول ۱. ضریب‌های لازم برای مدل‌سازی بتن به روش حالت خمیری آسیب در نرم‌افزار آباکوس.

$E_c = 35 \text{ Gpa}$	$\nu = 0.2$	ضریب پلاسون ( $\nu$ )
$\Psi = 36/31^\circ$	$\epsilon = 0.1$	خروج از مرکزیت جریان ( $\epsilon$ )
$\frac{\sigma_{ho}}{\sigma_{eo}} = 1/16$	$k = 0.6667$	
		ضریب ویسکوژیتی ( $\beta$ )
تنش فشاری ( $MPa$ )	کرنش غیرکشسان	$d_c$
۱۴/۷۹	۰	۰
۱۶/۵۸	۰/۰۰۰۰۳۹	۰/۰۱۱۶۳۹۵۹۲
۱۷/۷۵	۰/۰۰۰۰۵	۰/۰۱۴۷۵۱۳۳۸
۱۸/۸۸	۰/۰۰۰۰۶۲	۰/۰۱۸۲۰۲۲۷۲
۲۳/۰۷	۰/۰۰۰۱۲	۰/۰۳۵۴۴۶۳۷۶
۲۴/۹۵	۰/۰۰۰۱۵۷	۰/۰۴۶۱۶۹۷۳۶
۳۵	۰/۰۰۰۸۱۷	۰/۰۲۳۹۳۴۶۹۵۶
۳۰/۱۶	۰/۰۰۱۴۸۱	۰/۰۴۳۱۱۴۰۷۳۴
۱۸/۱۳	۰/۰۰۲۳۸۷	۰/۰۶۸۹۱۹۹۸۸۷
۱۴/۹۷	۰/۰۰۲۵۹۴	۰/۰۷۴۷۴۳۰۹۸۳
۷/۹۵	۰/۰۰۳۰۳۱	۰/۰۸۶۹۹۱۲۳۵۳
تنش کششی ( $Mpa$ )	کرنش غیرکشسان	$d_t$
۳/۵۴۹۶۴۷۸۷	۰	۰
۲/۴۸۴۷۵۳۵۰۹	۰/۰۰۰۰۵	۰/۱۱
۱/۰۶۴۸۹۴۳۶۱	۰/۰۰۰۲	۰/۳۸
۰/۰۰۲	۰/۰۰۱	۰/۹۵

۴. اتصال تیر به ستون فولادی پرشده با بتن با ورق‌های فشاری و کششی فوقانی و تحتانی؛

۵. اتصال تیر به ستون فولادی خالی با ورق‌های فشاری و کششی فوقانی و تحتانی؛

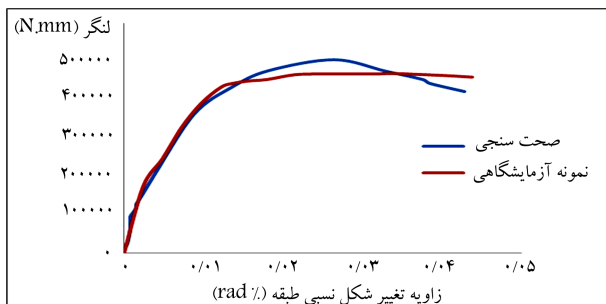
۶. اتصال تیر به ستون فولادی پرشده با بتن به همراه ورق میانگذرو ورق‌های فشاری و کششی فوقانی و تحتانی؛

۷. اتصال تیر به ستون فولادی تو خالی به همراه ورق میانگذرو ورق‌های فشاری و کششی فوقانی و تحتانی.

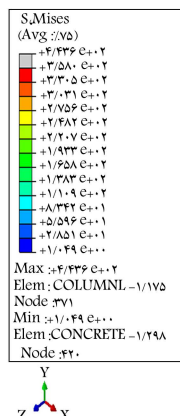
نمونه‌ها شامل تیرهای به عمق ۷۰۰، ۴۵۰ و ۸۰۰ میلی‌متر با ضخامت‌های بال ۱۰ و ۲۰ میلی‌متر و عرض بال ۲۵ میلی‌متر و ضخامت جان ۷/۶ میلی‌متر بودند و همچنین ستون‌هایی به قطر خارجی ۴۰ و ۸۰۰ میلی‌متر، با ضخامت‌های ۶ و ۱۲ میلی‌متر داشتند. ورق‌های اتصال به کار رفته در نمونه‌های مذکور شامل ورق‌های میانگذر (ورق پیوستگی) و ورق‌های فوقانی و تحتانی بودند که عرض ورق‌های فوقانی و تحتانی در کل نمونه‌های مورد بررسی ۴۰۰ میلی‌متر بود. در پژوهش حاضر، نمونه‌ها شامل ۷ نمونه‌ی جامع و ۲۴ گروه کلی هستند. گروه ۱، شامل نمونه‌های ۷ تا ۱۳ است که به ترتیب شماره طبق الگو: نمونه‌ی ۷، ستون فولادی پرشده با بتن؛ نمونه‌ی ۸، ستون فولادی پرشده با بتن به همراه ورق میانگذر؛ نمونه‌ی ۹، ستون فولادی خالی با ورق میانگذر؛ نمونه‌ی ۱۰، ستون فولادی پرشده با بتن به همراه ورق‌های تحتانی و فوقانی؛ نمونه‌ی ۱۱، ستون فولادی خالی با ورق‌های تحتانی و

جدول ۲. الگوی بارگذاری چرخه‌ی کنتربنده‌ی زاویه‌ی دریفت.

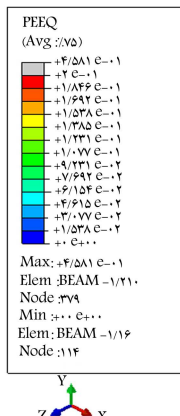
مراحل بارگذاری	تعداد هر چرخه	زاویه‌ی دریفت میان طبقه (درصد رادیان) ( $\theta_j$ )	( $n_j$ )	( $J$ )
۰/۳۷۵	۳	۱		
۰/۵	۳	۲		
۰/۷۵	۳	۳		
۱	۲	۴		
۱/۵	۲	۵		
۲	۲	۶		
۳	۲	۷		
۴	۲	۸		
۵	۲	۹		
۶	۲	۱۰		
۷	۲	۱۱		
۸	۲	۱۲		
۹	۲	۱۳		
۱۰	۲	۱۴		
۱۱	۲	۱۴		
۱۲	۲	۱۵		



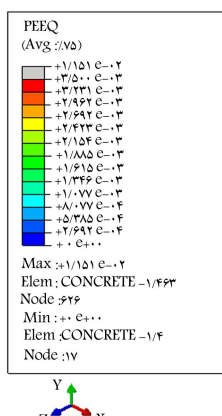
شکل ۷. نمودار بوش اور ممان - دریفت نمونه ۵.NSF5



شکل ۸. تنش فون - میسز در فولاد.



شکل ۹. کرنشن خمیری در فولاد.



شکل ۱۰. کرنشن خمیری معادل بتن داخل جدار فولادی.

فوقانی؛ نمونه‌ی ۱۲، ستون فولادی پرشده با بتن به همراه ورق‌های فوقانی و تحتانی و ورق میان‌گذر و نمونه‌ی ۱۳، ستون فولادی خالی به همراه ورق‌های فوقانی و تحتانی و ورق میان‌گذر است. ورق‌های فوقانی و تحتانی و ورق میان‌گذر به شکل دایره‌بی بودند و ضخامت آن‌ها با تغییر بال تیر تغییر می‌کرد و ضخامت آن‌ها با ضخامت بال تیر یکسان بود. جهت شبکه‌بندی اتصال فولادی از المان C3DA که یک المان سه بعدی و ۸ گره‌بی است، استفاده و به منظور افزایش دقت نتایج، اندازه‌ی شبکه‌ها در محدوده‌ی چشمی اتصال نسبت به سایر نقاط کوچک‌تر در نظر گرفته شده است. ابعاد شبکه‌ها در محدوده‌ی چشمی اتصال ۲ سانتی‌متر در ۲ سانتی‌متر بود.

## ۵. اعتبارسنجی نرم‌افزار با نمونه‌های آزمایشگاهی

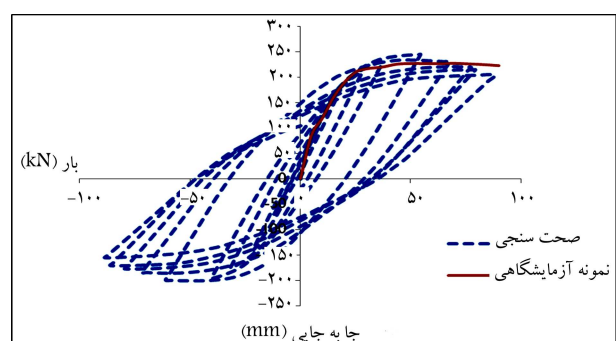
در پژوهش حاضر، یک مطالعه‌ی آزمایشگاهی انجام شده در سال ۲۰۰۲<sup>[۲۰]</sup> انتخاب شده است. نمونه‌ی انتخابی، نمونه‌ی NSF5 بود که یک اتصال ستون لوله‌بی فولادی پرشده با بتن به تیر فولادی است. به منظور اعتبارسنجی نرم‌افزار مورداستفاده، نمونه‌ی NSF5 با مقیاس ۲ به ۳ که یک اتصال میانی از قاب فولادی پرشده با بتن و نیز ناحیه‌ی اتصال انتخاب شده از نصف ارتفاع ستون در طبقات بالا و پایین و وسط دهانه‌ی تیر، که مستقر با نقطه‌ای عوض شدن دیگر لنگر خمیشی تحت بار جانی است، انتخاب شده است که شامل ستون فولادی دایروی تو خالی، تیر فولادی و بتن داخل جداره‌ی فولادی است. تکیه‌گاه‌های دو سر ستون، مفصلی هستند. همچنین برای جلوگیری از حرکت خارج از صفحه‌ی اتصال، تیر در دو ناحیه‌ی مهار جانی شده است. فاصله‌ی بار چرخه‌بی از آکس ستون، ۵۷ میلی‌متر بوده است. به منظور صحبت‌سنجدی نمونه‌های مورد مطالعه، نمونه‌ی آزمایشگاهی مذکور در نرم‌افزار آباکوس مدل‌سازی شده است.

## ۱.۵. نتایج حاصل از تحلیل غیرخطی مدل اجزاء محدود اتصال‌ها

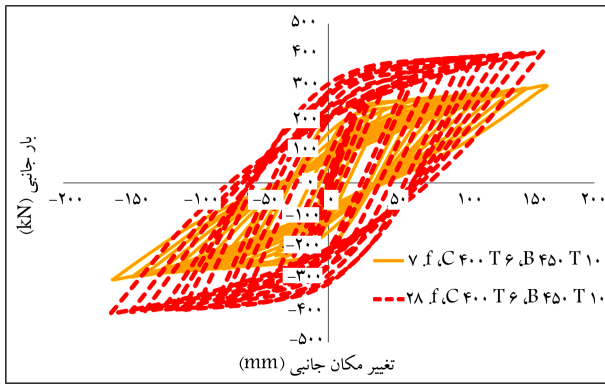
### جهت صحبت‌سنجدی اولیه

در شکل‌های ۶ و ۷، به ترتیب منحنی‌های بار - تغییرمکان و ممان - دریفت در نمونه‌های آزمایشگاهی و عددی بررسی و مقایسه شده‌اند. پس از آنالیز نمونه‌ی مدل‌سازی شده در نرم‌افزار آباکوس، به بررسی نتایج موردنیاز که شامل توزیع تنش فون - میسز در شکل ۸، توزیع کرنشن خمیری معادل در شکل ۹ و کرنشن خمیری در شکل ۱۰ پرداخته شده است.

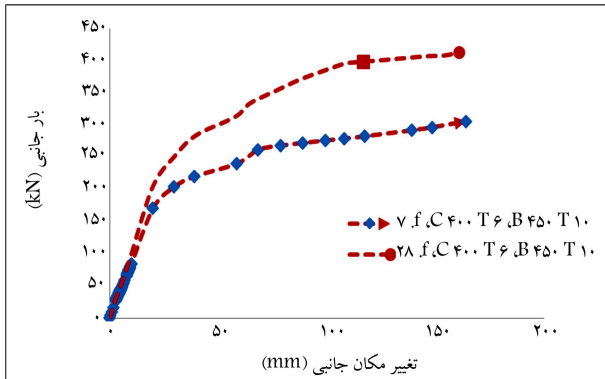
نتایج حاصل از بررسی مدل‌های آزمایشگاهی و عددی صحبت‌سنجدی شده نشان می‌دهد که درصد اختلاف بین مدل آزمایشگاهی و عددی در حدود ۹٪/۷ است که اختلاف ناچیزی است. در مدل‌سازی المان محدود صورت گرفته، اتصال



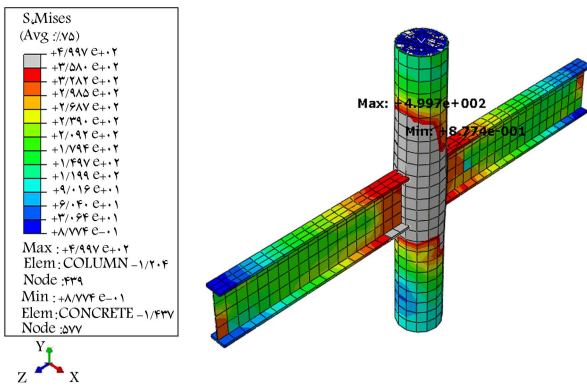
شکل ۱۱. نمودار بار جانبی - تغییرمکان مدل NSF5.



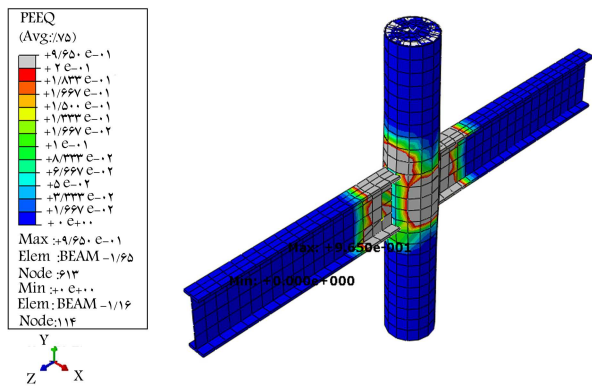
شکل ۱۲. نمودار چرخه‌ی بار- تغییر مکان.



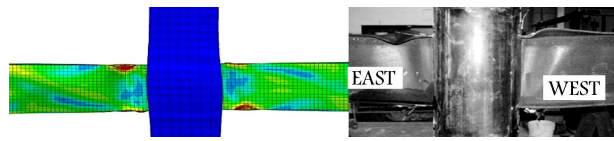
شکل ۱۳. نمودار پوش آور نمونه‌های ۷ و ۲۸.



شکل ۱۴. تنش فون- میسز در نمونه ۲۸



شکل ۱۵. گرش خمیری معادل در فولاد نمونه ۲۸



شکل ۱۱. کمانش بال تیر در مدل NSF5<sup>[۲۰]</sup>: سمت راست: مدل آزمایشگاهی، سمت چپ: مدل عددی.

بین المان‌های آرماتورهای فولادی و بتن به صورت کاملاً پیوسته و بدون در نظر گرفتن هرگونه لغزش بین آن‌ها بوده است.

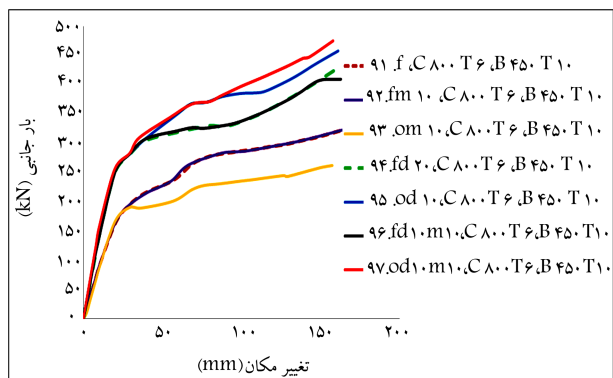
با توجه به شکل ۸، تنش جاری شدگی در بال تیر فولاد، ۳۵۸ مگاپاسکال بوده و بهوضوح مشخص است که بیشترین تنش در چشممه اتصال رخ داده است. با توجه به اینکه کرنش خمیری فولاد ST52، مقدار ۲٪ است، همان‌گونه که در شکل ۹ مشخص شده است، بیشینه‌ی کرنش خمیری بتن مقدار ۵٪ است. موقعیت کرش خمیری بتن در شکل ۱۰ به خوبی مشخص است. علاوه بر تطابق نتایج آزمایشگاهی با مدل سازی عددی، نحوه رفتار اتصال تحت بارگذاری چرخه‌ی بار مدل سازی عددی و انتطباق آن با نتایج آزمایشگاهی نیز اهمیت زیادی دارد. نتایج کمانش بال‌های تیر در نمونه‌ی آزمایشگاهی و مدل سازی عددی در شکل ۱۱ مشاهده می‌شود و مشخص است که دو نمونه، رفتار تقریباً مشابهی داشته‌اند.

## ۶. بررسی دو نمونه ستون فولادی پوشیده با بتن در اثر تغییر ضخامت

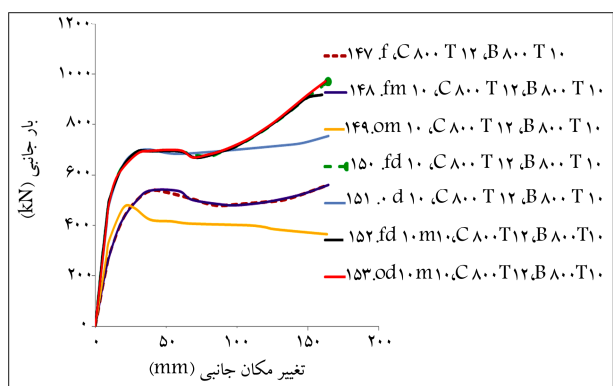
رفتار تنش - کرنش فولاد و بتن در ستون‌های CFT به علم اندکشن بین فولاد و بتن چندمغایره یا چندمحوری است. حال به بررسی دو نمونه‌ی CFT که ابعاد یکسان به جز در ضخامت بال دارند، پرداخته شده است. شکل ۱۲، نمودار چرخه‌ی نیرو - جایه‌جایی و شکل ۱۳، نمودار پوش آور نمونه‌های ۷ و ۲۸ را نشان می‌دهد. با توجه به شکل ۱۲، با افزایش ضخامت بال تیر، انرژی جذب شده به مقدار ۳۱٪ افزایش یافته است.

با توجه به شکل ۱۳ که افزایش ظرفیت باربری اتصال را در دو نمونه نشان می‌دهد، مشخص می‌شود که نمونه با ضخامت بیشتر بال تیر، ظرفیت باربری بیشتری نسبت به ضخامت کمتر دارد. جهت بررسی تنش‌ها و کرنش‌های به وجود آمده در فولاد و بتن به مقایسه‌ی دو نمونه‌ی مذکور پرداخته شده است. شکل ۱۴، تنش فون- میسز را در نمونه ۲۸ نشان می‌دهد.

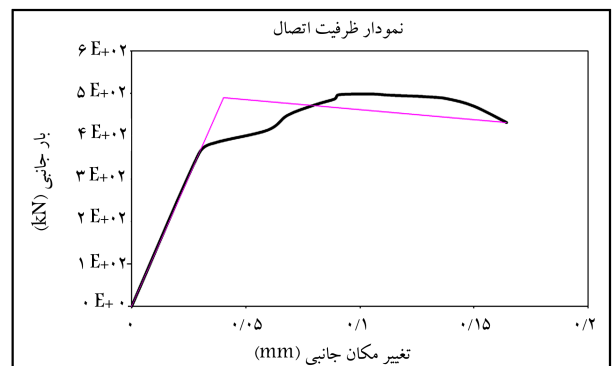
با توجه به شکل ۱۴، چشممه اتصال در اثر تغییر ضخامت بال تیر در نمونه ۲۸، تأثیر بسیار زیادی در روند استهلاک انرژی در اتصال و رفتار اتصال در زلزله‌های شدید داشته است. اگر چشممه اتصال ضعیف باشد، حتی در صورت اجرای اتصال کاملاً صلب با مقاومت اتصال بیشتر از تیر که باعث می‌شود شکست از ناحیه‌ی اتصال نباشد، این موضوع باعث به وجود آمدن تغییرشکل زیاد و در نتیجه باعث شکست ترد اتصال می‌شود. در گذار از حوزه‌ی کشسان به حوزه‌ی خمیری و بروز تسلیم در مناطق تمرکز تنش، اگرچه ضربیت تمرکز تنش به سبب بازنویسی تنش مازاد بر حد تسلیم روی همسایگی‌های تسلیم نشده کاوش می‌یابد و میدان تنش به سمت یکنواخت شدن حول میانگین پیش می‌رود، اما به دلیل انباست بدnon بازنویسی گرش خمیری و نرخ سریع رشد آن در اثر تسلیم و ادادگی توده‌ی مصالح، ضربیت تمرکز گرش به نحو چشمگیری افزایش می‌یابد. با توجه به شکل ۱۵ که گرش خمیری



شکل ۱۷. مقایسه‌ی نمودار نیرو - تغییر مکان نمونه‌های ۹۱ تا ۹۷ از گروه ۱۳.



شکل ۱۸. مقایسه‌ی نمودار نیرو - تغییر مکان نمونه‌های ۱۴۷ تا ۱۵۳ از گروه ۲۱.

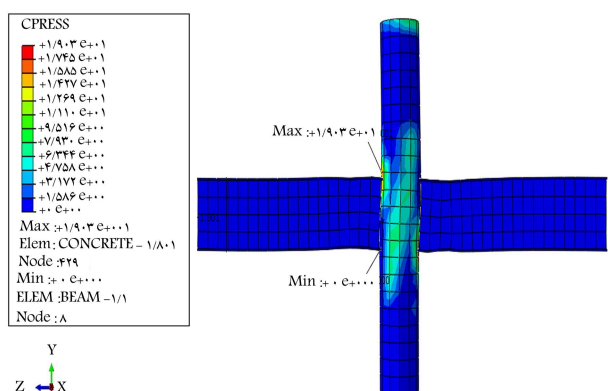


شکل ۱۹. نمودار دو خطی شده‌ی ظرفیت اتصال نمونه‌ی ۲۳.

ستون‌های فولادی پرشده با بتون به همراه ورق‌های فوقانی و تحتانی و ورق میان‌گذر هستند، بدليلی یا ماندن مقاومت چشمهدی اتصال در برابر بارهای وارده و ثابت ماندن جان تیر (در پژوهش حاضر)، تیر قادر به تحمل بارهای بیشتر از ظرفیت خود نبوده و دچار کمانش جانبی و منهدم شده است.

## ۲.۷ تأثیر ضخامت تیر در شکل‌پذیری اتصال در نمونه‌ها

برای بررسی و تحلیل تأثیر ضخامت بال تیر در شکل‌پذیری اتصال، نمونه‌هایی که در هر گروه مشخصات هندسی یکسان به غیر از پارامتر ضخامت داشتند، در نظر گرفته شدند، تأثیر ضخامت بال تیر، زمانی که ۱ و ۲ میلی‌متر هستند، در شکل‌پذیری و سختی اتصال با یکدیگر مقایسه شوند. شکل ۱۹، نمودار دو



شکل ۱۶. تنش فشاری و کششی در بتون نمونه‌ی ۷.

معادل در فولاد نمونه‌ی ۲۸ را نشان می‌دهد، شکست اتصال‌های سازه‌های فلزی پرشده با بتون، از نقاط تمرکز تنش آغاز و گسترش می‌یابد و از سوی دیگر سازه در حین زلزله تحت بارگذاری چرخه‌یی قرار می‌گیرد، که شکست ناشی از آن در شدت‌های بسیار بالای کرنش رخ می‌دهد. بنابراین می‌توان با بررسی میدان مکرکرنش حول متمنکنده‌های تنش در اتصال‌ها، موضع بروز شکست را پیش‌بینی کرد. مطابق شکل ۱۶، با توجه به تنش فشاری و کششی در بتون نمونه‌ی ۷ در اثر اعمال بار واردۀ بر تیر، بتون در ناحیه‌ی کششی کاملاً از جداره‌ی فولادی جدا شده و تنشی را متحمل نشده است و سپس در اثر بارگذاری چرخه‌یی و محصورشدن‌گشایش بارهای وارده را تحمل کرده است.

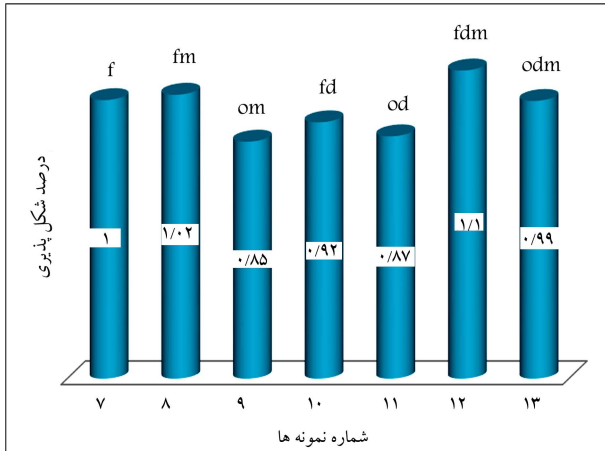
## ۷. نتایج مربوط به اتصال‌ها

### ۷.۱.۷ مقایسه‌ی ظرفیت باربری نمونه‌ها در هر گروه

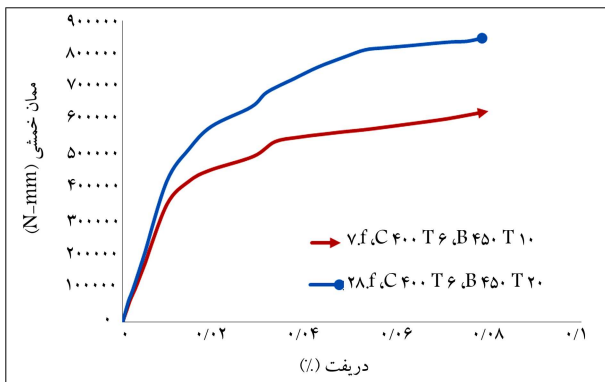
جهت بررسی و مقایسه‌ی ظرفیت باربری نمونه‌ها در هر گروه، نمودارهای ظرفیت باربری نمونه‌ها رسم شده است. شکل ۱۷، مقایسه‌ی نمودار نیرو - تغییر مکان نمونه‌های ۹۱ تا ۹۷ از گروه ۱۳ و شکل ۱۸، مقایسه‌ی نمودار نیرو - تغییر مکان نمونه‌های ۱۴۷ تا ۱۵۳ از گروه ۲۱ را نشان می‌دهند. با مقایسه‌ی تغییرشکل‌ها و نیروهای موجود در اتصال‌ها، سطح عملکرد هر یک از اجزاء اتصال و در نتیجه سطح عملکرد سازه مشخص شده است.

نمونه‌های موجود در هر گروه، شامل: اتصال ستون فولادی پرشده با بتون به تیر فولادی (f)، اتصال ستون فولادی پرشده با بتون با ورق میان‌گذر (fm)، اتصال ستون فولادی تو خالی به تیر فولادی با ورق میان‌گذر (om)، اتصال ستون فولادی خالی به ورق فوقانی و تحتانی به تیر فولادی (od)، اتصال ستون فولادی خالی به ورق میان‌گذر (odm)، اتصال ستون فولادی پرشده با بتون توسط ورق فوقانی و تحتانی و ورق میان‌گذر (odr)، اتصال ستون فولادی تو خالی با ورق میان‌گذر (odm) هستند. در گروه ۱، بینترین ظرفیت باربری مربوط به نمونه‌ی اتصال فولادی پرشده با بتون با ورق تحتانی و فوقانی به همراه ورق میان‌گذر و کمترین نیز مربوط به نمودار اتصال فولادی خالی با ورق میان‌گذر بوده است.

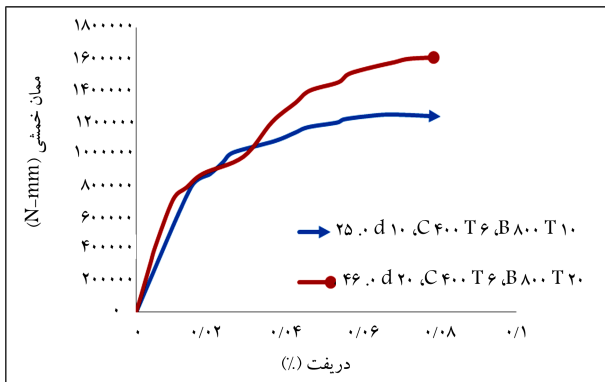
در نمونه‌های فولادی پرشده با بتون به علت محدود بودن و محبوسیت بتون، مقاومت فشاری بتون در برابر بارهای وارده افزایش یافته است که این اثر باعث افزایش ظرفیت باربری سازه‌ی موردنظر می‌شود. در اثر افزایش عمق تیر در نمونه‌هایی که



شکل ۲۱. میزان درصد شکل‌پذیری نسبت به نمونه‌ی CFT در گروه ۱.



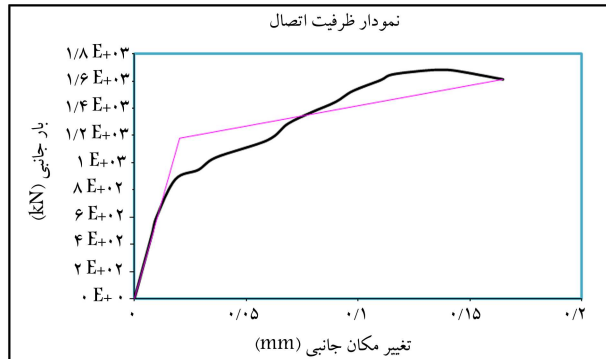
شکل ۲۲. مقایسه‌ی ظرفیت خمشی نمونه‌های ۷ و ۲۸.



شکل ۲۳. مقایسه‌ی ظرفیت خمشی نمونه‌های ۲۵ و ۴۶.

### ۳.۷. نمودار ممان - دریفت انتهای تیر در اتصال‌ها

جهت مقایسه‌ی ظرفیت خمشی اتصال‌ها، با استفاده از نمونه‌های بار-تغییرمکان، ظرفیت خمشی آن‌ها بررسی شده است. ممان خمشی مورد مطالعه، ممان ایجاد شده در اثر تغییرمکان در انتهای تیر ضرب در طول تیر بوده و درصد نسبی ممان اتصال هر نمونه نیز بررسی شده است. به دلیل تعداد زیاد نمونه‌ها، ۴۲ نمونه از اتصال‌ها، در ۲۱ گروه بررسی و مطالعه شدند. شکل ۲۲، مقایسه‌ی ظرفیت خمشی نمونه‌های ۷ و ۲۸ و شکل ۲۳، مقایسه‌ی ظرفیت خمشی نمونه‌های ۲۵ و ۴۶ را نشان می‌دهند. همان‌طور که در شکل ۲۲ مشخص است، ممان خمشی در اثر



شکل ۲۰. نمودار دو خطی شدهٔ ظرفیت اتصال نمونه‌ی ۱۷۴.

خطی شدهٔ ظرفیت اتصال نمونه‌ی ۲۳ و شکل ۲۰ نمودار دو خطی شدهٔ ظرفیت اتصال نمونه‌ی ۱۷۴ هستند که روند محاسبه‌ی آن‌ها طبق آین‌نامه‌ی FEMA ۳۵۶ می‌باشد. در جدول ۳، نیز تأثیر ضخامت تیر در شکل‌پذیری و سختی اتصال (تیرهای به ارتفاع ۴۵۰ میلی‌متر و ستون به قطر ۴۰۰ و ضخامت ۶ میلی‌متر) ارائه شده است. در تحلیل استاتیکی غیرخطی به روش ساده‌شده، مدل رفتاری اعضا به صورت دوخطی در نظر گرفته می‌شود. برای این منظور در پژوهش حاضر، براساس آین‌نامه‌ی FEMA ۳۵۶ عمل شده است. در مدل مذکور، منحنی رفتار یک سازه به صورت دو خط مستقیم ساده‌سازی می‌شود. طبق تعریف مرجع یادشده، شبیب خط اول این نمودار ساده‌شده بیان‌گر مقدار سختی جانبی مؤثر است.

با توجه به جدول ۳ مشخص است که به طور متوسط نسبت کاهش شکل‌پذیری برای نمونه‌های فولادی پرشده با بتون در اثر تغییر ضخامت نسبت به شکل‌پذیری نمونه‌های فولادی تو خالی، ۱۱٪ بوده است که این اختلاف به دلیل سختی نمونه‌های ساختی همچنین در جدول ۴، سختی و ضریب شکل با استفاده از نمودار ظرفیت ارائه شده است.

با توجه به جدول ۴، نتیجه گرفته شد که در سازه‌های فولادی پرشده با بتون، در اثر تغییر ضخامت، در تمامی نمونه‌ها بهینه‌ترین شکل‌پذیری مربوط به تیر به عمق ۷۰ میلی‌متر است و نسبت درصد سختی تیر به عمق ۷۰ میلی‌متر نسبت به باقی اتصال‌ها، ۱۴٪ افزایش دارد. همچنین با افزایش ضخامت بال تیر در سازه‌های CFT، شکل‌پذیری اتصال ۱۲٪ کاهش یافته است، که این کاهش در اتصال‌های ستون فولادی خالی به ۲۶٪ می‌رسد. این مقایسه نشان می‌دهد که شکل‌پذیری اتصال‌ها CFT به مرتب بیشتر از اتصال‌های ستون فولادی خالی است. همچنین درصد سختی کشسان نمونه‌ها نسبت به نمونه‌ی ستون فولادی با ورق میان‌گذر اتصال ستون فولادی با ورق فوقانی و تحتانی، اتصال CFT با ورق فوقانی و تحتانی و ورق میان‌گذر، و اتصال با ستون فولادی با ورق تحتانی و فوقانی و ورق میان‌گذر به ترتیب ۲۴، ۲۸، ۳۰، ۳۶، ۴۰، ۴۶، ۵۰، ۵۶، ۶۰، ۶۸، ۷۰، ۷۶، ۸۰، ۸۶، ۹۰، ۹۶، ۱۰۰، ۱۰۶، ۱۱۰، ۱۱۶، ۱۲۰٪ افزایش یافته است. در شکل ۲۱، میزان درصد شکل‌پذیری نمونه‌ها در گروه ۱ نسبت به نمونه‌ی CFT مشاهده می‌شود.

با توجه به شکل ۲۱، شکل‌پذیری برای اتصال CFT، اتصال CFT با ورق میان‌گذر، اتصال ستون فولادی با ورق فوقانی و تحتانی، اتصال CFT با ورق فوقانی و تحتانی و ورق میان‌گذر و اتصال با ستون فولادی با ورق تحتانی و فوقانی و ورق میان‌گذر آن‌ها نسبت به نمونه‌ی ستون فولادی با ورق میان‌گذر به ترتیب ۱۶، ۲۰، ۲۴، ۲۸، ۳۰، ۳۶، ۴۰، ۴۶، ۵۰، ۵۶، ۶۰، ۶۶، ۷۰، ۷۶، ۸۰، ۸۶، ۹۰، ۹۶، ۱۰۰، ۱۰۶، ۱۱۰، ۱۱۶٪ افزایش داشته‌اند.

جدول ۳. تأثیر ضخامت تیر در شکل پذیری و سختی اتصال (تیرهای به ارتفاع ۴۵۰ میلی‌متر و ستون به قطر ۴۰۰ و ضخامت ۶ میلی‌متر).

ردیف	شماره‌ی نمونه	سختی اتصال (K)	تغییرمکان تسلیم (m) نهایی (m)	تغییرمکان تسلیم (m) نهایی (m)	بار تسلیم (F <sub>y</sub> ) (KN)	بار نهایی (F <sub>u</sub> ) (KN)	ضریب شکل پذیری ( $\mu = \frac{\Delta_u}{\Delta_y}$ )	درصد شکل پذیری نمونه (نسبت به ضخامت کمتر) (%)
							شکل پذیری	ضریب
۱	۷/۶	۹۱۳۴	۰/۰۲۴	۰/۰۸۸	۲۲۱	۲۷۲	۳/۶۵	۴/۲
	۰	۱۰۹۲۶	۰/۰۲۷	۰/۰۹۹	۳۰۲	۲۸۶	۳/۵	۰
۲	۱۱/۱	۹۴۵۳	۰/۰۲۳	۰/۰۸۷	۲۲۵	۲۷۶	۳/۶۷	۷/۶
	۰	۱۱۰۵۶	۰/۰۲۷	۰/۰۹۴	۳۰۴	۳۹۵	۳/۴۱	۰
۳	۱۳	۷۳۸۵	۰/۰۲۸	۰/۰۹۴	۲۰۸	۲۴۷	۳/۹۸	۶/۹
	۰	۸۸۴۸	۰/۰۲۹	۰/۰۹۹	۲۰۹	۲۷۵	۳/۳۱	۰
۴	۱۲/۲	۱۲۷۲۵	۰/۰۲۶	۰/۰۷۶	۲۳۰	۲۶۰	۲/۹۱	۱۱/۱
	۰	۱۰۹۹۹	۰/۰۲۴	۰/۰۷	۳۵۴	۴۷۰	۲/۸۸	۰
۵	۱۳	۸۰۰۴	۰/۰۲۷	۰/۰۸	۲۲۲	۳۴۵	۳/۱۸	۴/۹
	۰	۸۹۷۵	۰/۰۲۸	۰/۰۸۶	۲۸۷	۴۰۹	۳/۰۳	۰
۶	۱۲/۲	۱۲۹۹۵	۰/۰۲	۰/۰۷۷	۲۶۴	۳۹۵	۳/۷۹	۲۱/۲
	۰	۱۳۲۱۱	۰/۰۲۱	۰/۰۶۷	۳۷۶	۴۹۹	۲/۸۲	۰
۷	۱۳	۹۳۵۲	۰/۰۲۴	۰/۰۸۵	۲۳۴	۳۵۸	۳/۴۶	۱۳
	۰	۹۵۹۸	۰/۰۲۳	۰/۰۷۳	۲۹۸	۴۱۶	۳/۰۶	۰

جدول ۴. محاسبه‌ی سختی و ضریب شکل با استفاده از نمودار ظرفیت براساس FEMA ۳۵۶.

نام نمونه	سختی کشسان (k)	بار تسلیم (V <sub>y</sub> )	تغییرمکان تسلیم (Δ <sub>y</sub> )	بار نهایی (V <sub>u</sub> )	تغییرمکان شکل پذیری (Δ <sub>u</sub> )	ضریب شکل پذیری ( $\mu = \frac{\Delta_u}{\Delta_y}$ )
۷	۹۱۳۴	۲۲۱	۰/۰۲۴	۲۷۲	۰/۰۸۸	۳/۶
۸	۹۴۵۳	۲۲۵	۰/۰۲۳	۲۷۵	۰/۰۸۷	۳/۷
۹	۷۳۵۸	۲۰۸	۰/۰۲۸	۲۴۷	۰/۰۹۴	۳/۹
۱۰	۱۲۷۲۵	۲۳۰	۰/۰۲۵	۲۶۰	۰/۰۷۶	۲/۹
۱۱	۸۰۰۴	۲۲۱	۰/۰۲۷	۳۴۵	۰/۰۸۸	۳/۲
۱۲	۱۲۹۹۴	۲۶۴	۰/۰۲	۳۹۵	۰/۰۷۷	۳/۸
۱۳	۹۵۹۸	۲۳۴	۰/۰۲۴	۳۵۸	۰/۰۸۵	۳/۵

افزایش ضخامت بال تیر، افزایش یافته است، که میزان آن برای تیر با ضخامت زیاد نسبت به ضخامت کمتر ۳۵٪ بوده است. با توجه به شکل ۲۳، در نمونه‌ی ۴۶، مقاومت افزاینده‌ی مشاهده می‌شود، که این مقاومت در اثر مقاومت بن در جداره‌ی فولادی بوده و همچنین نسبت ممان تحمل شده، ۲۶٪ افزایش یافته است.

#### ۴.۷ میزان جذب انرژی در اتصال‌ها

سطح زیر نمودار بار- تغییرمکان، به عنوان معیاری برای مقایسه‌ی انرژی کل جذب شده تا حد آستانه‌ی اهدام عضو در نظر گرفته شده است. جهت محاسبه‌ی میزان جذب انرژی در نمونه‌ها، سطح زیر منحصري براساس تغییرمکان بیشینه‌ی قابل قبول که همان

توخالی بیشتر بوده است، که نسبت جذب انرژی اتصال‌های CFT نسبت به اتصال‌های ستون فولادی توخالی، ۳۳٪ است. با افزایش ارتفاع، نسبت جذب انرژی نمونه‌های فولادی پرشده با بتون با ورق فوکانی و تحتانی، ۳۰٪ کمتر از نمونه‌های با ضخامت کمتر است.

۴. در نمونه‌های مورد مطالعه، بهترین عملکرد خمشی مربوط به تیر به عمق ۷۰۰ میلی‌متر بوده است که متوسط نسبت کاهش ضخامت بیشتر به ضخامت کمتر، ۵٪ است.

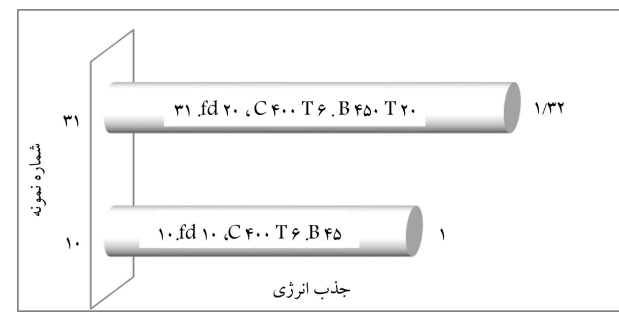
۵. در نمونه‌هایی که ستون‌های فولادی پرشده با بتون به همراه ورق‌های فوکانی و تحتانی و ورق میان‌گذر و همچنین ارتفاع تیر نیز زیاد بوده است به دلیل سختی بالای ستون و ثابت ماندن ضخامت جان تیر، تیر دچار کمانش جانبه شده و قبل از اینکه به ظرفیت باربری نهایی خود برسد، منهدم شده است.

۶. درصد سختی کشسان نمونه‌ها نسبت به نمونه‌ی ستون فولادی با ورق میان‌گذر برای اتصال‌های CFT، CFT با ورق میان‌گذر، ستون فولادی با ورق فوکانی و تحتانی، CFT با ورق فوکانی و تحتانی و ورق میان‌گذر و ستون فولادی با ورق تحتانی و فوکانی و ورق میان‌گذر به ترتیب ۲۴، ۰، ۲۸، ۰، ۶۰، ۰، ۶۸ و ۰، ۳۰ افزایش یافته است.

۷. درصد شکل‌پذیری نمونه‌ها نسبت به نمونه‌ی ستون فولادی با ورق میان‌گذر برای اتصال‌های CFT، CFT با ورق میان‌گذر، ستون فولادی با ورق فوکانی و تحتانی، CFT با ورق فوکانی و تحتانی و ورق میان‌گذر و ستون فولادی با ورق تحتانی و فوکانی و ورق میان‌گذر به ترتیب ۱۶، ۰، ۲۰، ۰، ۰۸، ۰، ۰۲، ۰، ۰۳ و ۰، ۱۷٪ افزایش یافته است.

۸. با توجه به توزیع کرنش خمیری معادل بتون در نمونه‌ها می‌توان به این نتیجه رسید که در نمونه‌های فولادی خالی، ابتدا چشممه‌ی اتصال و سپس تیر به کرنش نهایی خود می‌رسند.

۹. با توجه به توزیع تنش در نمونه‌های ستون فولادی پرشده با بتون، چشممه‌ی اتصال در نمونه‌های ذکور به مرز جاری شدن نزدیک نمی‌شوند، که دلیل اصلی آن عدم پیوستگی کافی بین ستون بتونی و ستون فولادی است.



شکل ۲۴. مقایسه‌ی میزان درصد جذب انرژی بین نمونه‌های ۱۰ و ۳۱.

تغییرمکان نظیر ۸۰٪ نیروی بیشینه است، در نظر گرفته شده است. در شکل ۲۴، میزان درصد جذب انرژی بین نمونه‌های ۱۰ و ۳۱ مشاهده می‌شود. با توجه به شکل ۲۴، در اتصال‌های فولادی پرشده از بتون با ستون فولادی به قطر ۴۵۰ میلی‌متر و تیر به عمق ۷۰۰ میلی‌متر، درصد انرژی جذب شده در اثر تغییر ضخامت توسط اتصال‌ها، ۲۵٪ از نمونه‌های فولادی خالی بیشتر هستند. این امر سطح عملکرد مناسب و استهلاک انرژی بیشتر سازه‌های فولادی پرشده با بتون را نشان می‌دهد.

## ۸. نتیجه‌گیری

پس از انجام تحلیل‌ها و محاسبه‌های لازم، نتایج به این صورت به دست آمدند:

۱. در سازه‌های فولادی پرشده با بتون، در اثر تغییر ضخامت، بهینه‌ترین شکل‌پذیری در تمامی نمونه‌ها، مربوط به تیر به عمق ۷۰۰ میلی‌متر است، که نسبت شکل‌پذیری آن نسبت به دیگر اتصال‌های فولادی پرشده با بتون ۱۴٪ بیشتر بوده است.

۲. با افزایش ضخامت بال تیر در سازه‌های CFT، شکل‌پذیری اتصال ۱۸٪ کاهش یافته است، که این کاهش در اتصال‌های ستون فولادی خالی به ۲۶٪ رسیده است و این مقایسه نشان می‌دهد که شکل‌پذیری اتصال‌های CFT به مرتب بیشتر از اتصال‌های ستون فولادی خالی هستند.

۳. در نمونه‌های با ارتفاع کم، هنگامی که ضخامت بال تغییر می‌کند، مقدار جذب انرژی اتصال‌های CFT به صورت چشمگیری از اتصال‌های با ستون‌های فولادی

## پانوشت‌ها

1. concrete filled tube
2. Abaqus

## منابع (References)

1. Kloppel, K. and Goder, W. "Traglastversuche mit ausbetonierten stahlrohren und aufstellung einer bemessungsformel", *Der Stahlbau, Berlin*, **26**(1), pp.1-10, (Jan., 1957).
2. Salani, H.R. and Sims, J.R. "Behavior of mortar filled steel tubes in compression", *Journal of the American Concrete Institute*, **61**(10), pp. 1271-1283 (1964).
3. Bridge, R.Q. "Concrete filled steel tubular columns", Report No. R283, School of Civil Engineering, University of Sydney, Sydney, Australia (1976).
4. Kitada, T., Yoshida, Y. and Nakai, H. "Fundamental study on elastoplastic behavior of concrete encased steel short tubular columns", *Memoirs of the Faculty of Engineering, Osaka City University*, Osaka, Japan, 28, pp. 237-253 (1987).
5. Konno, K., Kei, T. and Nagashima, T. "Behavior of concrete-filled square steel columns", *Proceedings of*

- IABSE Symposium*, Brussels (1990).
6. Johansson, M. and Gylltoft, K. "Mechanical behavior of circular steel-concrete composite stub columns", *Journal of Structural Engineering, ASCE*, **128**(8), pp. 1073-1081 (Aug., 2001).
  7. Tomii, M. and Sakino, K. "Experimental studies on the ultimate moment of concrete filled square steel tubular beam-columns", *Transactions of the Architectural Institute of Japan*, **275**, pp. 55-63 (Jan., 1979).
  8. Ichinohe, Y., Matsutani, T., Nakajima, M. and et al. "Elasto-plastic behavior of concrete filled steel circular columns", *Proceedings of the 3rd International Conference on Steel-Concrete Composite Structures*, Wakabayashi, M. (ed.), Fukuoka, Japan, 26-29, Association for International Cooperation and Research in Steel-Concrete Composite Structures, pp. 131-136 (Sep., 1991).
  9. Mao, X.Y. and Xiao, Y. "Seismic behavior of confined square CFT columns", *Engineering Structures*, **28**(10), pp. 1378-1386 (Aug., 2006).
  10. Liu, J., Zhou, X. and Zhang, S. "Seismic behaviour of square CFT beam-columns under biaxial bending moment", *Journal of Constructional Steel Research*, **64**(12), pp. 1473-1482 (Dec., 2008).
  11. Sheet, I.S., Gunasekaran, U. and MacRae, G.A. "Experimental investigation of CFT column to steel beam connections under cyclic loading", *Journal of Constructional Steel Research*, **86**, pp. 167-182 (July, 2013).
  12. Hassan, M.M., Ramadan, H.M., Abdel-Mooty, M.N. et al. "Behavior of concentrically loaded CFT braces connections", *Journal of Advanced Research*, **5**(2), pp. 243-252 (Mar., 2014).
  13. Qin, Y., Chen, Zh. and Wang, X. "Experimental investigation of new internal-diaphragm connections to CFT columns under cyclic loading", *Journal of Constructional Steel Research*, **98**, pp. 35-44 (July, 2014).
  14. Kwon, Y.B. and Jeong, I.K. "Resistance of rectangular concrete-filled tubular (CFT) sections to the axial load and combined axial compression and bending", *Thin-Walled Structures*, **79**, pp. 178-186 (June, 2014).
  15. Yu, Y., Chen, Zh. and Wang, X. "Effect of column flange flexibility on WF-beam to rectangular CFT column connections", *Journal of Constructional Steel Research*, **106**, pp. 184-197 (Mar., 2015).
  16. Fan, J., Liu, Ch., Yang, Y. and et al. "Shear capacity of 3D composite CFT joints subjected to symmetric loading condition", *Journal of Constructional Steel Research*, **112**, pp. 242-251 (Sep., 2015).
  17. Long, Y.-L., Wan, J. and Cai, J. "Theoretical study on local buckling of rectangular CFT columns under eccentric compression", *Journal of Constructional Steel Research*, **120**, pp. 70-80 (Apr., 2016).
  18. Mander, J.B., Priestley, M.J.N. and Park, R. "Theoretical stress-strain model for confined concrete", *Journal of Structural Engineering*, **114**(8), pp. 1804-1826 (1988).
  19. Applied Technology Council, ATC40, "Seismic evaluation and retrofit of concrete buildings California seismic safety commission, 1, pp.167-182 (1997).
  20. Elremaily, A. and Azizinamini, A. "Behavior and strength of circular concrete-filled tube columns", *Journal of Constructional Steel Research*, **58**(12), pp. 1567-1591 (2002).
  21. Federal Emergency Management Agency, "NEHRP guidelines for the seismic rehabilitation of building", FEMA356, Washington,D.C. (2000).